

# Dimensionamento à Fadiga

## Órgãos de Máquinas

---

Carlos Fernandes

2023/2024

Licenciatura em Engenharia Mecânica

*All machine and structural designs are problems in fatigue because the forces of Nature are always at work and each object must respond in some fashion.*

Carl Osgood

# Bibliografia Dimensionamento à Fadiga

Sebenta, disponível nos conteúdos da UC:

- Castro, Paulo M S Tavares De: Dimensionamento à fadiga. Órgãos de Máquinas, DEMec, Faculdade de Engenharia da Universidade do Porto, 2017

Livro, disponível na biblioteca da FEUP:

- Branco, Carlos Augusto Gomes de Moura; Fadiga de estruturas soldadas. ISBN: 972-31-0139-4

Aula 1

Aula 2

Aula 3

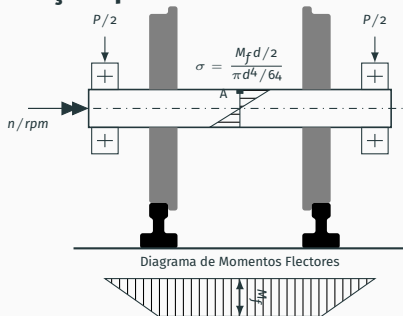
Referências

# Aula 1

---

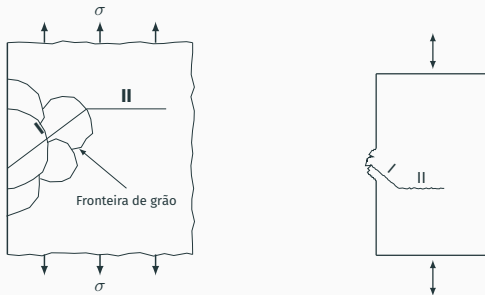
1. Fadiga: Introdução e fases do fenómeno de fadiga	5
2. Solicitações de Fadiga	8
3. Tensão Limite de Fadiga	9
4. Critérios de fadiga	15

## Motivações para o estudo do fenómeno de Fadiga [1]



- Rotura de veios do rodado de material circulante dos caminhos de ferro em meados do séc. XIX;
- Roturas com solicitações abaixo da tensão de rotura e mesmo abaixo da tensão de cedência do material;
- No entanto os componentes estavam sujeitos a cargas cíclicas;
- Estudado na Alemanha por Wöhler e em Inglaterra por Rankine.

# Fases do Fenômeno de Fadiga



**Figura 1:** As fases do fenômeno de fadiga [1].

- Fase I: comprimentos de fenda muito pequenos com crescimento a  $45^\circ$  relativamente à direção da sollicitação (planos sujeitos a valores elevados de tensão de corte  $\tau$ );
- Fase II: Propagação da fenda numa direção perpendicular à sollicitação, sob influência da tensão normal;
- Fase III: Após atingir um comprimento crítico do comprimento da fissura, dá-se a rotura instável final.

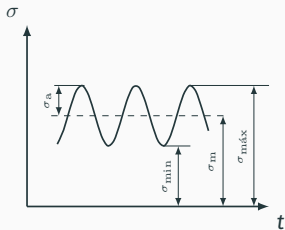


## Exemplo de Superfície de Fadiga



**Figura 2:** Aspetto macroscópico duma superfície de fratura por fadiga, sendo visíveis as linhas de paragem e nervuras [1].

# Solicitações de Fadiga



**Figura 3:** Solicitação de fadiga.

Razão de carga ou de tensão:

$$R = \frac{\sigma_{\min}}{\sigma_{\max}}$$

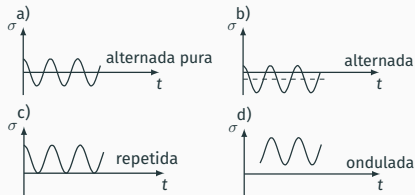
- a) solicitação alternada pura,  $R=-1$ ;
- b) solicitação alternada;
- c) solicitação repetida,  $R=0$ ;
- d) solicitação ondulada

Tensão média:

$$\sigma_m = \frac{\sigma_{\max} + \sigma_{\min}}{2}$$

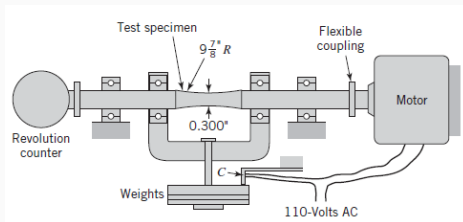
Amplitude de Tensão:

$$\sigma_a = \frac{\sigma_{\max} - \sigma_{\min}}{2}$$

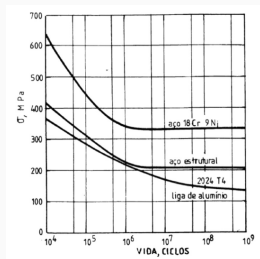


**Figura 4:** Tipos de solicitação de fadiga.

# Tensão Limite de Fadiga



**Figura 5:** Máquina de ensaios de fadiga em flexão rotativa ( $R = -1$ ) do tipo R.R. Moore [2].

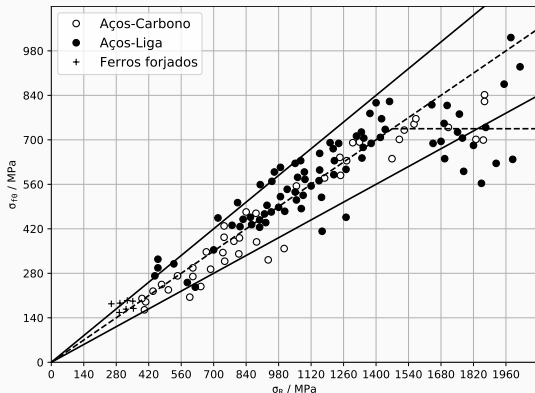


**Figura 6:** Curvas SN [1].

Carga estática:  $\sigma < \sigma_{ced}$

Carga cíclica:  $\sigma < \sigma_{fo}$

# Tensão Limite de Fadiga



**Figura 7:** Tensão limite de fadiga para açós e ferros fundidos obtidos numa máquina de ensaios à fadiga por flexão rotativa [3].

$$\text{Açós: } \sigma_{f0} = \begin{cases} 0.5 \cdot \sigma_R & \sigma_R \leq 1400 \text{ MPa} \\ 700 \text{ MPa} & \sigma_R > 1400 \text{ MPa} \end{cases}$$

# Tensão Limite de Fadiga Corrigida

## Factores de Correção da Tensão Limite de Fadiga

$$\sigma_{f0}^c = C_1 \cdot C_2 \cdot C_3 \cdot C_4 \cdot \sigma_{f0}$$

- $C_1$  – tipo de carga;
- $C_2$  – efeito do tamanho;
- $C_3$  – acabamento superficial;
- $C_4$  – outros fatores:
  - temperatura
  - descontinuidades geométricas
  - corrosão
  - anisotropia
  - outros

Para uma análise mais detalhada de  $C_4$  – outros fatores, ver [3, 2].

## $C_1$ – Tipo de Carga

### **Flexão**

Para o caso de flexão, o valor do fator  $C_1$  é 1 tal como esperado, pois os resultados de tensão limite de fadiga são considerados e determinados em flexão rotativa (máquina de ensaios de fadiga).

### **Axial**

Quando a sollicitação é axial não há gradiente na secção crítica, pelo que todo o material está sujeito à tensão máxima do ciclo  $C_1 = 0.85$ .

### **Torção**

Para a torção o valor é de  $C_1 = 0.58$ , que está de acordo com o critério de von Mises (teoria da energia de distorção), pois

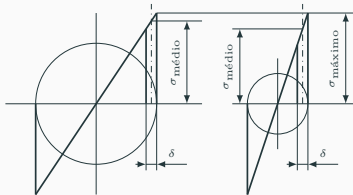
$$\tau = \frac{\sigma}{\sqrt{3}} = 0.577 \cdot \sigma$$

$$C_1 = \begin{cases} 1 & \text{flexão} \\ 0.85 & \text{axial} \\ 0.58 & \text{torção} \end{cases}$$

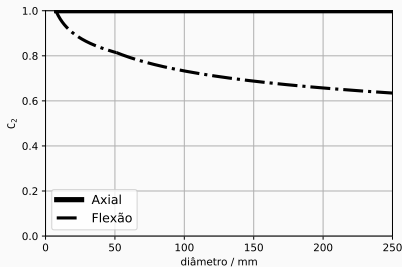
## $C_2$ – Efeito do tamanho

Para solicitações de flexão e torção, a tensão limite de fadiga diminui com o aumento da seção resistente.

A tensão média instalada no volume crítico de material é menor para a seção menor.



**Figura 8:** Modelo de interpretação do efeito de tamanho [1].



**Figura 9:** Efeito do tamanho [3].

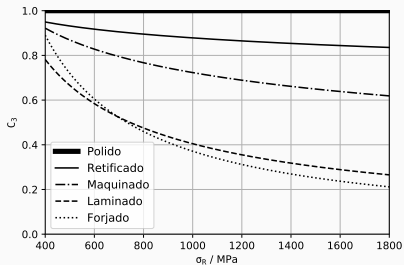
$$C_2 = \begin{cases} 1.24 \cdot d^{-0.107} & 2.79 \leq d < 51 \text{ mm} \\ 1.51 \cdot d^{-0.157} & 51 < d \leq 254 \text{ mm} \end{cases}$$

## C<sub>3</sub> – Acabamento superficial

O acabamento superficial afeta a tensão limite de fadiga dos seguintes modos [1]:

- introduz concentração de tensões devido à rugosidade superficial;
- alteração das propriedades físicas da camada superficial;
- introdução de tensões residuais, que sendo de tração, diminuem a resistência à fadiga.

$$C_3 = a \cdot \sigma_R^b$$



**Figura 10:** Efeito do acabamento superficial [3].

Tipo	a / MPa	b
Retificado	1.58	-0.085
Maquinado	4.51	-0.265
Laminado	57.7	-0.718
Forjado	272	-0.995



# Cr terios de fadiga

A maioria das situa  es pr ticas envolve a combina  o de uma sollicita  o c clica (de fadiga) com uma sollicita  o est tica (Figura 11).

Par bola de Gerber

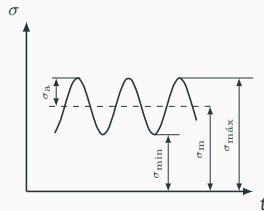
$$\frac{\sigma_a}{\sigma_{fo}} + \left( \frac{\sigma_m}{\sigma_R} \right)^2 = 1$$

Reta de Goodman

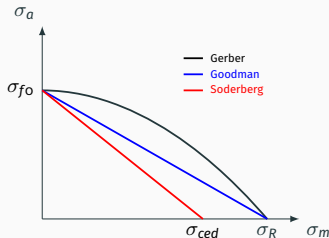
$$\frac{\sigma_a}{\sigma_{fo}} + \frac{\sigma_m}{\sigma_R} = 1$$

Reta de Soderberg

$$\frac{\sigma_a}{\sigma_{fo}} + \frac{\sigma_m}{\sigma_{ced}} = 1$$

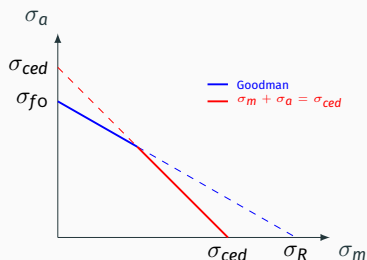


**Figura 11:** Sollicita  o de fadiga.



**Figura 12:** Par bola de Gerber e retas de Goodman e Soderberg.

# Critério de Goodman Modificado



$$\begin{cases} \frac{\sigma_a}{\sigma_{fo}} + \frac{\sigma_m}{\sigma_R} = 1 \\ \sigma_m + \sigma_a = \sigma_{ced} \end{cases}$$

Para garantir que não há deformação plástica, adiciona-se a equação:

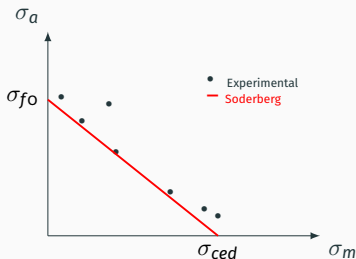
**Figura 13:** Critério de Goodman Modificado.

$$\sigma_m + \sigma_a = \sigma_{ced}$$

Este critério satisfaz simultaneamente o critério de Goodman e evita a ocorrência de deformação plástica.

# Critério de Soderberg

$$\frac{\sigma_a}{\sigma_{fo}} + \frac{\sigma_m}{\sigma_{ced}} = 1$$



**Figura 14:** Critério de Soderberg.

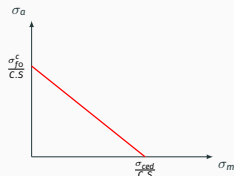
O uso da equação deve ser adaptado do seguinte modo:

- Corrigir o valor da tensão limite de fadiga

$$\sigma_{fo}^c = C_1 \cdot C_2 \cdot C_3 \cdot C_4 \cdot \sigma_{fo};$$

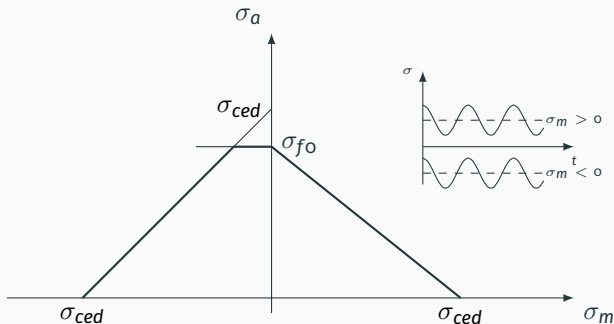
- Efeito de concentração de tensões  $K_f$  (próxima aula);
- Coeficiente de segurança:

$$\frac{K_f \cdot \sigma_a}{\sigma_{fo}^c} + \frac{\sigma_m}{\sigma_{ced}} = \frac{1}{C.S.}$$



**Figura 15:** Critério de Soderberg com coeficiente de segurança.

# Tensão média negativa



**Figura 16:** Critério de Soderberg.

A resistência à fadiga para valores de tensão média negativa aumenta.

Para  $\sigma_m > 0$ ,  $\Delta\sigma = \sigma_{max} - \sigma_{min} > 0$ , a fenda cresce.

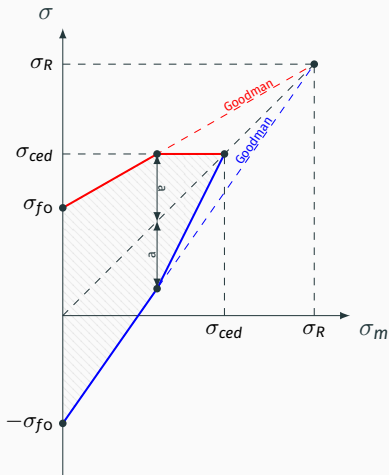
Para  $\sigma_m < 0$ ,  $\Delta\sigma = \sigma_{min} - \sigma_{max} < 0$ , a fenda não cresce.

## Aula 2

---

1. Diagram de Smith	20
2. Fator de Concentração de Tensões	22
3. Solicitações combinadas	29
4. Tensão estática equivalente	30

# Diagrama de Smith



**Figura 17:** Diagrama de Smith ou Diagrama de Goodman Modificado.

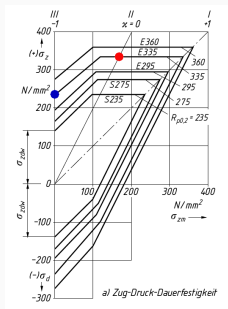
Bastante utilizado na literatura/engenharia de origem alemã.

As abcissas representam a tensão média:  $\sigma_m$

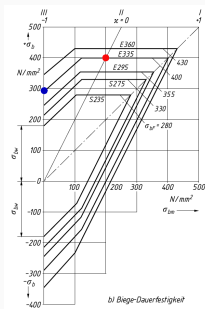
Linha a 45° no 1º quadrante representa a tensão média do carregamento  $\sigma_m = \frac{\sigma_{\max} + \sigma_{\min}}{2}$

Quando a tensão média é nula, a falha por fadiga é representada no eixo das ordenadas por  $\pm\sigma_{fo}$

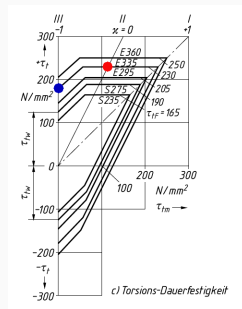
# Diagrama de Smith Aço E335



(a) Tração



(b) Flexão

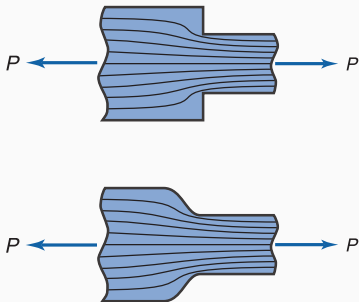


(c) Torção

**Figura 18:** Diagrama de Smith para aço estrutural E335 de acordo com a norma DIN EN 10025 [4]



# Fator de Concentração de Tensões



**Figura 19:** Placa plana com mudança de seção carregada axialmente [5].

Comparemos uma placa traccionada axialmente e o fluxo de um fluido num canal com dimensões

equivalentes.

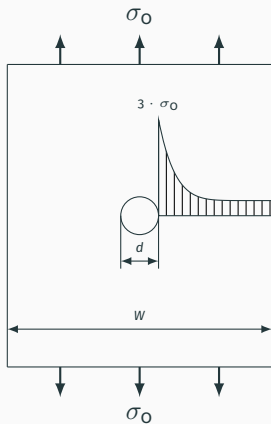
O fluxo  $q$  em qualquer ponto do canal é constante tal como a carga  $P$  aplicada na placa o é.

$$q = \int u \, dA \quad P = \int \sigma \, dA$$

Se a secção mudar drasticamente, a velocidade do fluido aumenta perto da mudança de forma. Para manter a igualdade de fluxo  $q$ , as linhas devem estreitar-se e aglomerar-se.

O aumento de tensões numa placa é análogo ao aumento de velocidade do fluido no canal.

# Fator de Concentração de Tensões



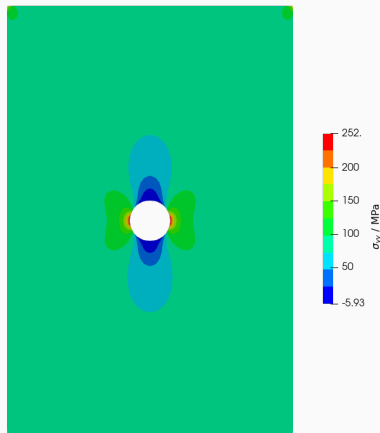
**Figura 20:** Placa de largura  $W$  com furo central de diâmetro  $d$  e tensão remota  $\sigma_0$ .

O fator de concentração de tensões  $K_t$  é adimensional e calcula-se como:

$$K_t = \frac{\sigma_{max}}{\sigma_0}$$

Para  $d \ll W$ ,  $K_t = 3$

# Fator de Concentração de Tensões - MEF



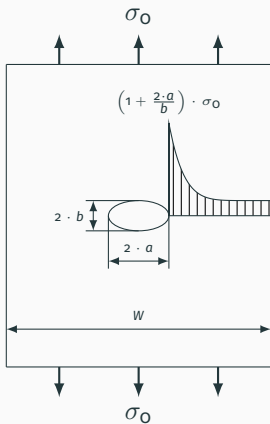
**Figura 21:** Resultado MEF aplicando uma tensão remota segundo y  $\sigma_o = 100$  MPa para  $d/W = 0.2$ .

Neste caso em particular, com a malha utilizada e com o código de MEF CalculiX [6], o resultado obtido para o fator de concentração de tensões é:

$$K_t = \frac{\sigma_{max}}{\sigma_o} = \frac{252}{100} = 2.52$$

O resultado indicado por Pilkey [7] para  $d/W = 0.2$  é de  $K_t \approx 2.52$ .

# Fator de Concentração de Tensões



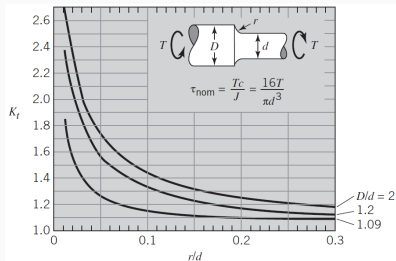
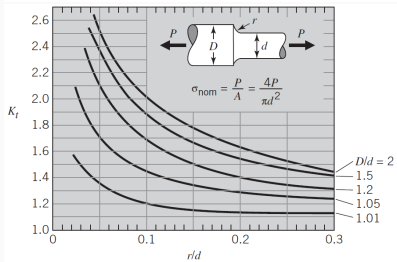
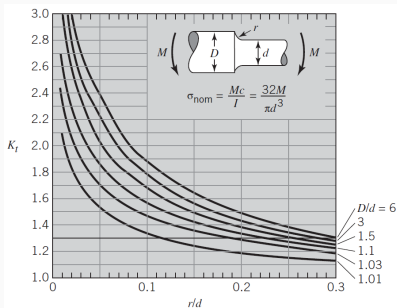
**Figura 22:** Placa de largura  $W$  com elipse central e tensão remota  $\sigma_0$ .

Para  $2 \cdot a \ll W$ :

$$K_t = 1 + \frac{2 \cdot a}{b}$$

Se  $a = b$  converge para a solução do furo circular, i.e.  $K_t = 3$ .

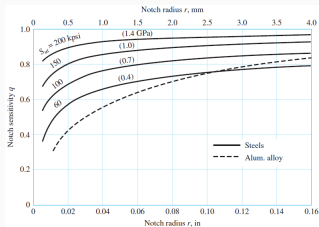
# Fator de Concentração de Tensões



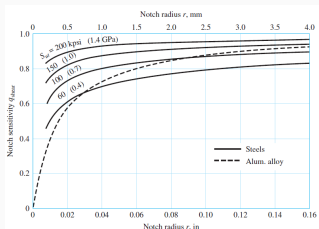
**Figura 23:** Fator de concentração de tensões para veios com mudança de seção [2].

Consultar “Peterson’s Stress Concentration Factors” [7] ou “Dimensionamento à Fadiga” [1] para valores de  $K_t$  para diversas geometrias e carregamentos.

# Fator Prático de Concentração de Tensões



(a) Flexão e tração



(b) Torção

**Figura 24:** Índice de sensibilidade ao entalhe  $q$  ( $S_{ut} = \sigma_R$ ) [3].

$$K_f = 1 + q \cdot (K_t - 1)$$

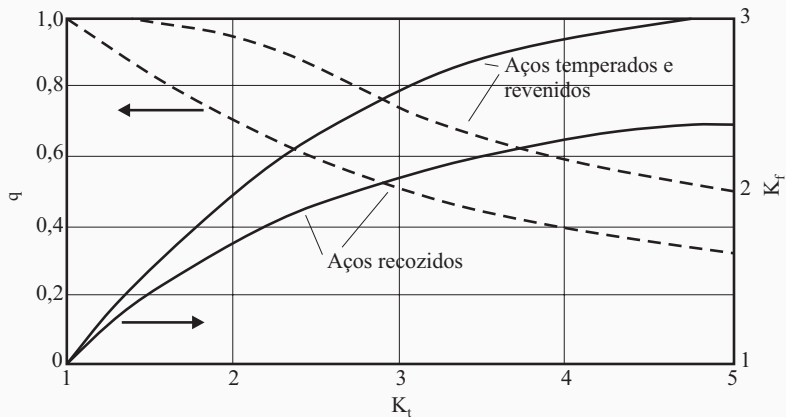
Sendo  $0 < q < 1$  o índice de sensibilidade ao entalhe [1, 3, 7].

$q = 1$  é considerado um valor conservador.

Podemos dizer que na prática:

$$K_f < K_t$$

# Índice Sensibilidade ao Entalhe



**Figura 25:** Índice de sensibilidade ao entalhe  $q$  para aços recozidos ou aços temperados e revenidos [1].

# Solicitações Combinadas

Os métodos abordados previamente são adequados para determinar a vida à fadiga de solicitações uniaxiais.

Na prática, há a necessidade de analisar componentes que estão sujeitos a solicitações combinadas: flexão e torção por exemplo [1].

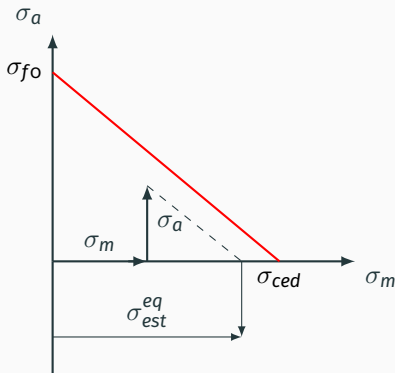
Para se resolver o problema temos de substituir uma solicitação de fadiga caracterizada por  $\sigma_m$  e  $\sigma_a$  por uma solicitação estática equivalente.

Utilizando o critério de Soderberg podemos calcular uma tensão estática equivalente como sendo:

$$\sigma_{est}^{eq} = \sigma_m + \frac{\sigma_{ced}}{\sigma_{fo}^c} \cdot K_f \cdot \sigma_a$$



# Tensão estática equivalente



**Figura 26:** Determinação da tensão estática equivalente utilizando o critério de Soderberg [1].

$$\frac{\sigma_a}{\sigma_{fo}} + \frac{\sigma_m}{\sigma_{ced}} = 1$$

O declive da reta é então  $-\frac{\sigma_{fo}}{\sigma_{ced}}$

$$\sigma_{est}^{eq} = \sigma_m + \frac{\sigma_{ced}}{\sigma_{fo}} \cdot \sigma_a$$

Nos casos práticos, deveremos considerar o fator prático de concentração de tensões  $K_f$  assim como o valor corrigido da tensão limite de fadiga  $\sigma_{fo}^c$ :

$$\sigma_{est}^{eq} = \sigma_m + \frac{\sigma_{ced}}{\sigma_{fo}^c} \cdot K_f \cdot \sigma_a$$

# Tensão estática equivalente

Tal como num problema estático, o problema de dimensionamento fica assim reduzido a satisfazer um critério de resistência adequado ao caso em análise.

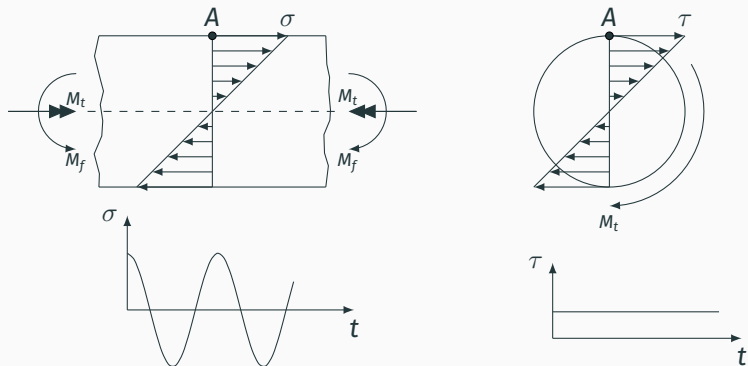
- Critério de Tresca ou Máxima Tensão de Corte:

$$\frac{\sigma_{est_1}^{eq} - \sigma_{est_3}^{eq}}{2} = \frac{\sigma_{ced}}{2 \cdot C.S.}$$

- Critério de von Mises ou Energia de Distorção:

$$\frac{\sqrt{2}}{2} \cdot \sqrt{\left(\sigma_{est_1}^{eq} - \sigma_{est_3}^{eq}\right)^2 + \left(\sigma_{est_1}^{eq} - \sigma_{est_2}^{eq}\right)^2 + \left(\sigma_{est_2}^{eq} - \sigma_{est_3}^{eq}\right)^2} = \frac{\sigma_{ced}}{C.S.}$$

# Solicitações Combinadas: Exemplo



**Figura 27:** Veio de secção circular sujeito a flexão (alternada pura) combinada com torção constante.

$$\sigma_{max} = \frac{M_f \cdot r}{I} \quad \sigma_{min} = -\frac{M_f \cdot r}{I}$$

$$\sigma_a = \frac{\sigma_{max} - \sigma_{min}}{2} = \sigma_{max}$$

$$\sigma_m = \frac{\sigma_{max} + \sigma_{min}}{2} = 0$$

$$\tau_{max} = \tau_{min} = \frac{M_t \cdot r}{I_p}$$

$$\tau_a = \frac{\tau_{max} - \tau_{min}}{2} = 0$$

$$\tau_m = \frac{\tau_{max} + \tau_{min}}{2} = \tau_{max}$$

## Tensão estática equivalente: Exemplo

A solicitação cíclica de flexão rotativa é então convertida numa solicitação estática equivalente:

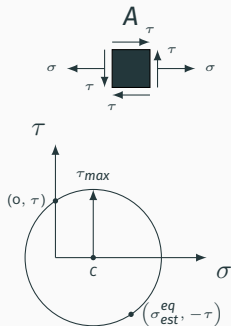
$$\sigma_{est}^{eq} = \cancel{\sigma_m} + \frac{\sigma_{ced}}{\sigma_{fo}^c} \cdot K_f \cdot \sigma_a$$

Tensão de corte máxima:

$$\tau_{max} = \sqrt{\left(\frac{\sigma_{est}^{eq}}{2}\right)^2 + \tau^2}$$

Aplicando o Critério de Tresca:

$$\sqrt{\left(\frac{\sigma_{est}^{eq}}{2}\right)^2 + \tau^2} = \frac{\sigma_{ced}}{2 \cdot C.S}$$



**Figura 28:** Círculo de Mohr.

## Aula 3

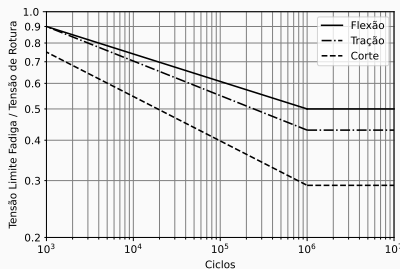
---

1. Modelo Simplificado da Curva SN	35
2. Fadiga Acumulada: Lei de Miner	36
3. Melhoria da Resistência à Fadiga	37
4. Fadiga Oligocíclica	40

# Modelo Simplificado da Curva SN

Para carregamentos a partir de  $10^3$  ciclos,  $R = -1$  e que excedem a tensão limite de fadiga, estamos numa situação de vida finita.

Para estas situações, a curva SN simplificada pode dar uma estimativa do número de ciclos antes da rotura por fadiga.

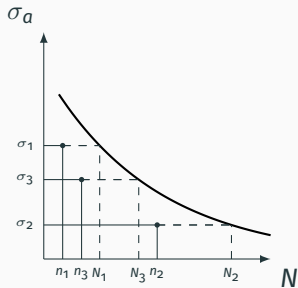


**Figura 29:** Curva SN simplificada [1].

	$\sigma/\sigma_R$ Flexão	$\sigma/\sigma_R$ Tração	Corte $\tau/\sigma_R$
$n = 10^3$	0.9	0.9	$0.75 (\approx 0.9 \times 0.82)$
$n = 10^6$	0.5	0.43	$0.29 (= 0.5 \times \frac{1}{\sqrt{3}})$

# Fadiga Acumulada: Lei de Miner

A lei de Miner é também conhecida como lei do dano acumulado.



**Figura 30:** Lei de Miner.

$$\frac{n_1}{N_1} + \frac{n_2}{N_2} + \frac{n_3}{N_3} + \dots + \frac{n_k}{N_k} = 1$$

$$\sum_{i=1}^{i=k} \frac{n_i}{N_i} = 1$$

$n_i$  número de ciclos aplicado com a tensão  $\sigma_i$

$N_i$  número de ciclos até à rotura com a tensão  $\sigma_i$

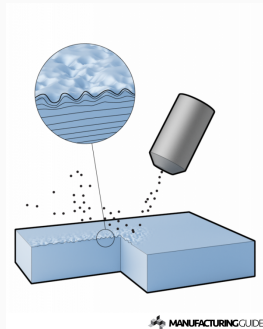


# Melhoria da Resistência à Fadiga

Existem diversos métodos de melhoria da resistência à fadiga de componentes mecânicos. Os procedimentos pretendem introduzir tensões residuais de compressão que melhoram a resistência à fadiga do material.

Alguns métodos tipicamente utilizados:

- Grenelhagem (“shot peening”)
- “Laser peening”
- “Cavitation peening”
- Trabalho a frio de furos (“cold expansion”)

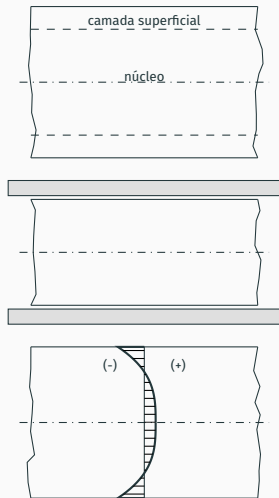


**Figura 31:** Shot peening.

# Melhoria da Resistência à Fadiga: Shot-Peening

O “shot-peening” consiste num impacto de alta energia (pequenas esferas) contra a superfície do componente.

Se a camada superficial fosse livre, o seu comprimento aumentaria em resultado da deformação causada pelo impacto. Como não é livre, origina um perfil de tensões residuais de compressão na camada superficial e por isso aumenta a resistência à fadiga.

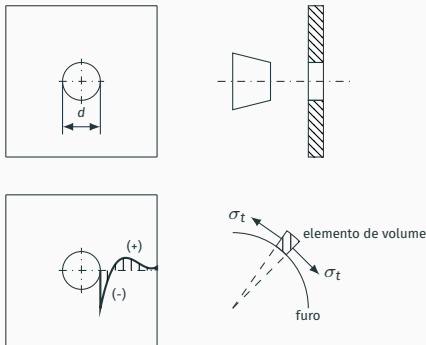


**Figura 32:** Efeito do “shot peening” sobre as tensões residuais.

## Melhoria da Resistência à Fadiga: Cold Expansion

O mandril cônico penetra no furo, e promove a deformação plástica na camada superficial do furo.

Após remoção do mandril, o restante material da chapa força a camada superficial deformada plasticamente a retomar a sua dimensão inicial, introduzindo nessa zona uma tensão circunferencial  $\sigma_t$  de compressão.



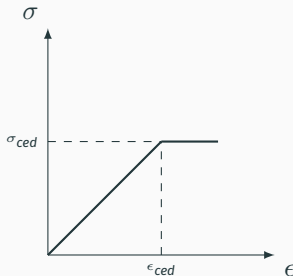
**Figura 33:** “Cold expansion” de um furo para rebite.

# Fadiga Oligocíclica

A fadiga oligocíclica é também conhecida por fadiga em condições elastoplásticas [1]. Em inglês: “low cycle fatigue”.

Os conceitos apresentados anteriormente não são adequados para tratar o problema da fadiga oligocíclica.

Nestes casos, a fadiga é controlada pela deformação plástica. Os ensaios mecânicos passam a ser dependentes da variável deformação em vez da tensão.

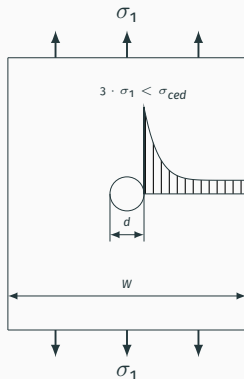


**Figura 34:** Modelo simplificado elasto-plástico.

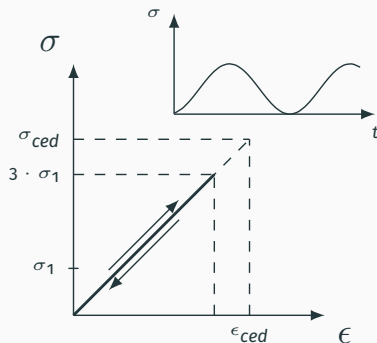
# Fadiga Oligocíclica

Placa com furo central com  $d \ll W$ :  $K_t = 3$

Se  $3 \cdot \sigma_1 < \sigma_{ced} \Leftrightarrow \sigma_1 < \frac{\sigma_{ced}}{3}$ , não há deformação plástica.



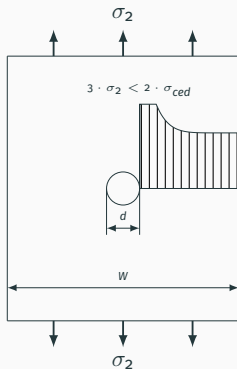
**Figura 35:** Placa tracionada ciclicamente com tensão remota  $\sigma_1$ .



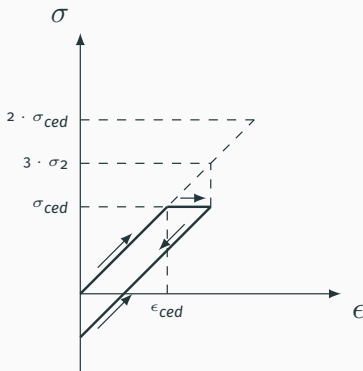
**Figura 36:** Ciclo de carregamento para  $\sigma_1$ .

$$\text{Se } 3 \cdot \sigma_2 < 2 \cdot \sigma_{ced} \Leftrightarrow \sigma_2 < \frac{2 \cdot \sigma_{ced}}{3}$$

Há deformação plástica apenas no primeiro ciclo de carregamento.



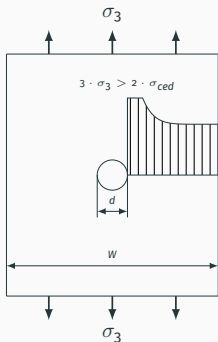
**Figura 37:** Placa tracionada ciclicamente com tensão remota  $\sigma_2$ .



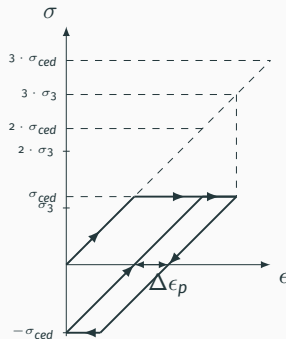
**Figura 38:** Ciclo de carregamento para  $\sigma_2$ .

$$\text{Se } 3 \cdot \sigma_3 > 2 \cdot \sigma_{ced} \Leftrightarrow \sigma_3 > \frac{2 \cdot \sigma_{ced}}{3}$$

Ocorre deformação plástica cíclica, usar Lei de Coffin-Manson.



**Figura 39:** Placa tracionada ciclicamente com tensão remota  $\sigma_3$ .



**Figura 40:** Ciclo de carregamento para  $\sigma_3$ .

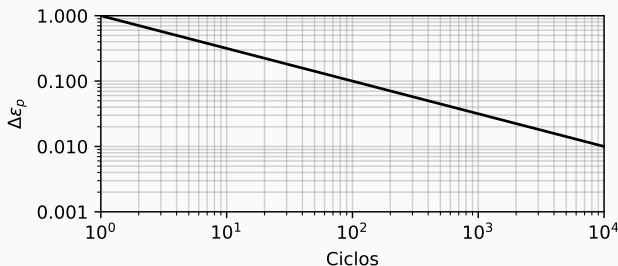
# Lei de Coffin-Manson

Ocorre deformação plástica cíclica, usar Lei de Coffin-Manson:

$$\Delta\epsilon_p \times N^a = b$$

$a$  e  $b$  são constantes determinadas experimentalmente.

Tipicamente  $a = \frac{1}{2}$ .



**Figura 41:** Lei de Coffin-Manson com  $a = 0.5$  e  $b = 1$ .



# Referências

---

- [1]** Castro, Paulo M S Tavares De: *Dimensionamento à fadiga. Órgãos de Máquinas*, DEMec, Faculdade de Engenharia da Universidade do Porto, 2017.
- [2]** Juvinall, Robert C. e Kurt M. Marshek: *Fundamentals of Machine Component Design*.  
**Wiley, 2017.**
- [3]** Budynas, Richard G. e J. Keith Nisbett: *Shigley's Mechanical Engineering Design*.  
**10ª edição, 2014, ISBN 978-0-07-339820-4.**

## Referências ii

- [4] Muhs, D., H. Wittel, M. Becker, D. Jannasch e J. Voßiek:  
*Roloff/Matek Maschinenelemente: Normung, Berechnung, Gestaltung - Lehrbuch und Tabellenbuch.*  
**Viewegs Fachbücher der Technik. Vieweg+Teubner Verlag, 2013, ISBN 9783322997821.**
- [5] Osgood, Carl e Fatigue Design: *Fundamentals of Machine Elements.*  
**2014, ISBN 9781482247503.**
- [6] Dhondt, Guido: *The Finite Element Method for Three-dimensional Thermomechanical Applications.*  
**2004, ISBN 0470857528.**

- [7]** Pilkey, Walter D., Deborah F. Pilkey e Zhuming Bi: *Peterson's Stress Concentration Factors*.  
**2020, ISBN 9781119532514.**